

学校代码: 10385

分类号: _____

研究生学号: _____

密 集: _____



华侨大学
HUAQIAO UNIVERSITY

硕士专业学位论文

自稳定有限元无网格混合离散分析方法及其在自锁问题中的应用

作 者 姓 名: _____

指 导 教 师: _____

合 作 教 师: _____

实 践 教 师: _____

专业学位类别: 工程硕士

专业学位领域: 土木水利

研 究 方 向: 结构体系创新与工程应用

所 在 学 院: 土木工程学院

论文提交日期: 二〇二五年三月 XX 日

摘 要

\LaTeX 是一种强大的排版系统，该系统提供了丰富的功能，包括自动编号、交叉引用、数学公式排版、参考文献管理等。它还支持多种文档类、宏包和模板，使用户能够根据自己的需求定制文档的外观和格式，广泛用于撰写学术论文、科技文档和出版物。本文主要以前期准备、图表设置、使用 Zotero 管理参考文献、 \LaTeX 部分所需包介绍、附录和参考格式等环节进行介绍。首先在前期准备中介绍了 Git 的相关内容以及 VS Code 的配置。此外，还介绍了文件和标签的命名规则，为编写论文的命名提供参考，并对在 \LaTeX 中的图表设置以例子详细说明如何在论文中插入和设置图表，涵盖了图片的插入、标注、引用和交叉引用等方面的技巧和方法，也对如何使用 Zotero 管理参考文献进行了介绍说明。最后，在附录部分给出了参考格式的理解说明。通过阅读本文，读者将获得关于前期准备、图表设置、参考文献管理、 \LaTeX 必需包、附录和参考格式的全面指导，有助于顺利完成论文写作和格式规范要求。

关键词： \LaTeX ；模板学习

目 录

| | |
|------------------------------------|---|
| 第 1 章 引言 | 1 |
| 1.1 选题背景及意义 | 1 |
| 1.2 国内外研究历史及现状 | 1 |
| 1.3 本文主要内容 | 1 |
| 第 2 章 体积自锁问题 | 3 |
| 2.1 体积不可压材料 | 3 |
| 2.2 调整体积约束 | 4 |
| 2.2.1 罚函数法 | 4 |
| 2.2.2 拉格朗日乘子法 | 5 |
| 2.2.3 罚函数法和拉格朗日乘子法方法的等价性 | 7 |
| 2.3 体积自锁程度判断方法 | 8 |
| 2.3.1 体积约束比 | 8 |
| 2.3.2 LBB 稳定性条件 | 9 |

第 1 章 引言

- 1.1 选题背景及意义
- 1.2 国内外研究历史及现状
- 1.3 本文主要内容

第 2 章 体积自锁问题

2.1 体积不可压材料

考虑一个维度为 n_d 具有边界 Γ 的体积不可压材料弹性体 $\Omega \in \mathbb{R}^{n_d}$, 其中 Γ_t 和 Γ_g 分别表示其自然边界和本质边界, 且 $\Gamma_t \cup \Gamma_g = \Gamma, \Gamma_t \cap \Gamma_g = \emptyset$ 。该问题相应的强形式为:

$$\begin{cases} \nabla \cdot \boldsymbol{\sigma} + \mathbf{b} = \mathbf{0} & \text{in } \Omega \\ \boldsymbol{\sigma} \cdot \mathbf{n} = \mathbf{t} & \text{on } \Gamma_t \\ \mathbf{u} = \mathbf{g} & \text{on } \Gamma_g \end{cases} \quad (2.1)$$

其中 $\boldsymbol{\sigma}$ 为应力张量, 对于各向同性线弹性材料, 其本构关系表示为:

$$\boldsymbol{\sigma}(\mathbf{u}) = 3\kappa\boldsymbol{\varepsilon}^v(\mathbf{u}) + 2\mu\boldsymbol{\varepsilon}^d(\mathbf{u}) \quad (2.2)$$

式中 $\boldsymbol{\varepsilon}^v$ 和 $\boldsymbol{\varepsilon}^d$ 为应变张量 $\boldsymbol{\varepsilon}$ 的体积应变和偏应变部分:

$$\boldsymbol{\varepsilon}^v(\mathbf{u}) = \frac{1}{3}\nabla \cdot \mathbf{u} \mathbf{1}, \quad \boldsymbol{\varepsilon}^d(\mathbf{u}) = \frac{1}{2}(\mathbf{u}\nabla + \nabla\mathbf{u}) - \boldsymbol{\varepsilon}^v, \quad \boldsymbol{\varepsilon}^v : \boldsymbol{\varepsilon}^d = 0 \quad (2.3)$$

其中, $\mathbf{1} = \delta_{ij}\mathbf{e}_i \otimes \mathbf{e}_j$ 是二阶恒等张量。

κ, μ 分别为体积模量和剪切模量, 它们与杨氏模量 E 和泊松比 ν 之间存在如下关系式:

$$\kappa = \frac{E}{3(1-2\nu)}, \quad \mu = \frac{E}{2(1+\nu)} \quad (2.4)$$

\mathbf{b} 为 Ω 中的体力, \mathbf{t}, \mathbf{g} 分别为自然边界和本质边界上的牵引力和位移。

对于体积几乎不可压缩材料, 它们的泊松比 $\nu \rightarrow 0.5$, 相应的体积模量 $\kappa \rightarrow \infty$, $\kappa \gg \mu$, 使得其体积变化无限小。

采用伽辽金法进行求解时, 其相对应的伽辽金弱形式为: 位移 $\mathbf{u} \in V$ 满足

$$\int_{\Omega} 2\mu\delta\boldsymbol{\varepsilon}^d : \boldsymbol{\varepsilon}^d d\Omega + \int_{\Omega} 3\kappa\delta\boldsymbol{\varepsilon}^v : \boldsymbol{\varepsilon}^v d\Omega = \int_{\Gamma_t} \delta\mathbf{u} \cdot \mathbf{t} d\Gamma + \int_{\Omega} \delta\mathbf{u} \cdot \mathbf{b} d\Omega, \quad \forall \delta\mathbf{u} \in V \quad (2.5)$$

其中, 空间 $V = \{\mathbf{v} \in H^1(\Omega)^2 \mid \mathbf{v} = \mathbf{g}, \text{ on } \Gamma_g\}$ 。 $\delta\boldsymbol{\varepsilon}^v$ 和 $\delta\boldsymbol{\varepsilon}^d$ 分别为 $\delta\mathbf{u}$ 表示的体积应变和偏应变的变分。

在传统有限元法中, 整个求解域 Ω 可离散为一组节点 $\{\mathbf{x}_I\}_{I=1}^{n_u}$ 表示^[2], 其中 n_u 是位移节点的数量。位移 \mathbf{u} 及其变分 $\delta\mathbf{u}$ 可通过 \mathbf{x}_I 处的节点系数和形函

数进行近似:

$$\mathbf{u}_h(\mathbf{x}) = \sum_{I=1}^{n_u} N_I(\mathbf{x}) \mathbf{u}_I, \quad \delta \mathbf{u}_h(\mathbf{x}) = \sum_{I=1}^{n_u} N_I(\mathbf{x}) \delta \mathbf{u}_I \quad (2.6)$$

其中 N_I 和 u_I 分别为节点 x_I 处的形函数和节点系数张量。将式(2.6)代入到弱形式(2.5)中可得下列的里兹-伽辽金问题: 近似位移 $\mathbf{u}_h \in V_h$ 满足

$$\int_{\Omega} 2\mu \delta \boldsymbol{\varepsilon}_h^d : \boldsymbol{\varepsilon}_h^d d\Omega + \int_{\Omega} 3\kappa \delta \boldsymbol{\varepsilon}_h^v : \boldsymbol{\varepsilon}_h^v d\Omega = \int_{\Gamma_t} \delta \mathbf{u}_h \cdot \mathbf{t} d\Gamma + \int_{\Omega} \delta \mathbf{u}_h \cdot \mathbf{b} d\Omega, \quad \forall \delta \mathbf{u}_h \in V_h \quad (2.7)$$

其中近似空间 $V_h \subseteq V$, $V_h = \{\mathbf{v}_h \in (\text{span}\{N_I\}_{I=1}^{n_u})^{n_d} | \mathbf{v}_h = \mathbf{g}, \text{ on } \Gamma_g\}$ 。根据 $\delta \mathbf{u}_h$ 的任意性, 等式两边同时消除 $\delta \mathbf{u}_I$, 上述方程可以简化为以下离散控制方程:

$$(\mathbf{K}^d + \mathbf{K}^v) \mathbf{d}^u = \mathbf{f} \quad (2.8)$$

式中, 体积刚度矩阵 \mathbf{K}^v 和偏应力刚度矩阵 \mathbf{K}^d 的分量分别为:

$$\mathbf{K}_{IJ}^v = 3\kappa \int_{\Omega} \mathbf{B}_I^{vT} \mathbf{B}_J^v d\Omega \quad (2.9)$$

$$\mathbf{K}_{IJ}^d = 2\mu \int_{\Omega} \mathbf{B}_I^{dT} \mathbf{B}_J^d d\Omega \quad (2.10)$$

力向量 \mathbf{f} 的分量为:

$$\mathbf{f}_I = \int_{\Gamma_t} N_I \mathbf{t} d\Gamma + \int_{\Omega} N_I \mathbf{b} d\Omega \quad (2.11)$$

\mathbf{d}^u 是包含 \mathbf{u}_I 的系数向量。

对于体积几乎不可压缩的材料, $\kappa \rightarrow \infty$, $\mathbf{K}^v \gg \mathbf{K}^d$ 。因此式(2.8)中的体积刚度矩阵 \mathbf{K}^v 可视作一种强制使用的罚函数法使得体积变形为 0, 即 $\nabla \cdot \mathbf{u} = 0$, 而体积模量 κ 可视作罚因子。由于这种情况, 使用传统有限元法会产生严重的体积锁定, 就是所谓的体积自锁现象。

2.2 调整体积约束

2.2.1 罚函数法

传统有限元法发生体积自锁的自由度为刚度矩阵的秩 $\text{rank}(\mathbf{K})$, 通过减少体积刚度矩阵中的积分点数量, 可以达到缓解体积自锁的目的。为了清晰起见, 将数值积分代入上述刚度矩阵中:

$$\mathbf{K}_{IJ} \approx \bar{\mathbf{K}}_{IJ} = \sum_{C=1}^{n_e} \sum_{G=1}^{n_g} \mathbf{B}_I^T(\mathbf{x}_G) \mathbf{B}_J(\mathbf{x}_G) w_G \quad (2.12)$$

其中, \mathbf{x}_G 和 w_G 分别为积分点的位置和权重。 n_e 是单元的数量, n_g 是每个单元中积分点的数量, 因此总的积分点数量为 $n_e \times n_g$ 。

以图2.1中二维四边形单元 (Quad4) 为例, 传统二维四边形单元使用 2×2 高斯积分点作为全积分, 对应的体积自锁自由度为:

$$\text{rank}(\mathbf{K}) = \min(n_e \times n_g, n_d \times n_u) = \min(4n_e, 2n_u) \quad (2.13)$$

采用缩减积分单元, 积分点的数量从 4 个减少到 1 个, 此时的体积自由度为:

$$\text{rank}(\mathbf{K}) = \min(n_e, 2n_u) \quad (2.14)$$

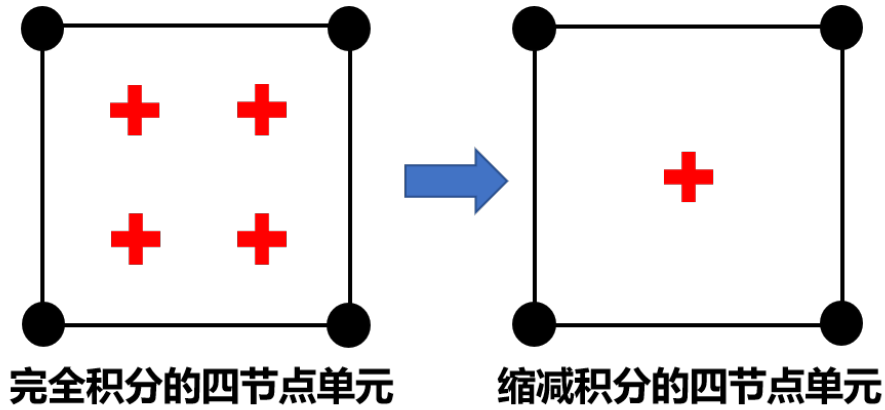


图 2.1 Quad4 单元缩减积分

通过减少对体积自由度的约束, 缓解体积自锁现象, 但是低阶高斯积分将伴随着数值积分精度不足, 引起数值计算结果振荡和精度下降。针对低阶高斯积分精度不足的问题, 可以使用选择积分法。该方法对于偏应力刚度矩阵使用全积分, 对体积刚度矩阵采用缩减积分进行计算, 保持了偏应力刚度矩阵的自由度个数, 只减少体积刚度矩阵的自由度个数, 从而提高求解精度。

2.2.2 拉格朗日乘子法

施加约束的方式除了传统罚函数法外, 还有拉格朗日乘子法。拉格朗日乘子法中将压力 p 作为拉格朗日乘子独立变量, 相对应的强形式中增加了压力 p

与位移之间的约束：

$$\begin{cases} \nabla \cdot \boldsymbol{\sigma} + \mathbf{b} = \mathbf{0} & \text{in } \Omega \\ \frac{p}{\kappa} + \nabla \cdot \mathbf{u} = 0 & \text{in } \Omega \\ \boldsymbol{\sigma} \cdot \mathbf{n} = \mathbf{t} & \text{on } \Gamma_t \\ \mathbf{u} = \mathbf{g} & \text{on } \Gamma_g \end{cases} \quad (2.15)$$

式中应力张量 $\boldsymbol{\sigma}$ 采用两个变量表示：

$$\boldsymbol{\sigma}(\mathbf{u}, p) = p\mathbf{1} + 2\mu\boldsymbol{\varepsilon}^d(\mathbf{u}) \quad (2.16)$$

其中 $p \in Q$, $Q = \{q \in L^2(\Omega) \mid \int_{\Omega} q d\Omega = 0\}$ 。此时，能量泛函具有位移 \mathbf{u} 压力 p 两个变量，分别对两变量进行变分，可得相对应的伽辽金弱形式为：位移 $\mathbf{u} \in V$ ，压力 $p \in Q$ 满足

$$\begin{aligned} a(\mathbf{v}, \mathbf{u}) + b(\mathbf{v}, p) &= f(\mathbf{v}) \quad \forall \mathbf{v} \in V \\ b(\mathbf{u}, q) &= 0 \quad \forall q \in Q \end{aligned} \quad (2.17)$$

式中， $a : V \times V \rightarrow \mathbb{R}$ ， $b : V \times Q \rightarrow \mathbb{R}$ 为双线性算子， $f : V \rightarrow \mathbb{R}$ 为线性算子，它们具有以下形式：

$$a(\mathbf{v}, \mathbf{u}) = \int_{\Omega} \nabla^s \mathbf{v} : \nabla^s \mathbf{u} d\Omega \quad (2.18)$$

$$b(\mathbf{v}, p) = \int_{\Omega} \nabla \cdot \mathbf{v} p d\Omega \quad (2.19)$$

$$f(\mathbf{v}) = \int_{\Gamma_t} \mathbf{v} \cdot \mathbf{t} d\Gamma + \int_{\Omega} \mathbf{v} \cdot \mathbf{b} d\Omega \quad (2.20)$$

位移 \mathbf{u} 压力 p 双变量可采用不同的离散方式进行近似，形成混合离散框架。

$$\mathbf{u}_h(\mathbf{x}) = \sum_{I=1}^{n_u} N_I(\mathbf{x}) \mathbf{u}_I, \quad \delta \mathbf{u}_h(\mathbf{x}) = \sum_{I=1}^{n_u} N_I(\mathbf{x}) \delta \mathbf{u}_I \quad (2.21)$$

$$p_h(\mathbf{x}) = \sum_{K=1}^{n_p} \Psi_K(\mathbf{x}) p_K, \quad \delta p_h(\mathbf{x}) = \sum_{K=1}^{n_p} \Psi_K(\mathbf{x}) \delta p_K \quad (2.22)$$

此时，压力 p 的自由度个数则反应了体积约束个数。式中， n_p 分别为压力节点的总数， p_K 为压力节点系数， Ψ_K 为对应的形函数。

根据 u_h 和 p_h 的任意性，式(2.17)可得到如下离散控制方程：

$$\begin{bmatrix} \mathbf{K}^{uu} & \mathbf{K}^{up} \\ (\mathbf{K}^{up})^T & \mathbf{K}^{pp} \end{bmatrix} \begin{Bmatrix} \mathbf{d}^u \\ \mathbf{d}^p \end{Bmatrix} = \begin{Bmatrix} \mathbf{f} \\ \mathbf{0} \end{Bmatrix} \quad (2.23)$$

式中 $\mathbf{K}^{uu} = \mathbf{K}^d$ 。

由式(2.23)离散控制方程中的第二个等式，系数向量 d^p 可用 d^u 表示：

$$d^p = (K^{pp})^{-1}(K^{up})^T d^u \quad (2.24)$$

将上式代入到式(2.23)的第一个等式中可得：

$$\begin{aligned} & \underbrace{(K^{uu})}_{K^d} + \underbrace{K^{up}(K^{pp})^{-1}(K^{up})^T}_{\tilde{K}^v} d^u = f \\ \Rightarrow & (K^d + \tilde{K}^v) = f \end{aligned} \quad (2.25)$$

此时，位移自由度为 $\text{rank}(K^d)$ ，压力自由度为 $\text{rank}(K^v)$ 。

$$\text{rank}(K^d) = n_d \times n_u, \quad \text{rank}(K^v) = n_p \quad (2.26)$$

2.2.3 罚函数法和拉格朗日乘子法方法的等价性

从拉格朗日乘子法的离散方程(2.25)中可以看出，压力 p_h 的解是 $3\kappa \nabla \cdot \mathbf{u}_h$ 的一个正交投影。令 $P_h : V_h \rightarrow P_h(V_h)$ 使得 $P_h(V_h) \subseteq Q_h$ ，其中 $P_h(V_h) = \text{Im } P_h$ 是线性算子 P_h 的虚部^[2]。在这种情况下， $p_h = P_h(3\kappa \nabla \cdot \mathbf{u}_h) = 3\kappa \tilde{\nabla} \cdot \mathbf{u}_h$ ，式(2.17)可以改写为：

$$\int_{\Omega} q_h (\nabla \cdot \mathbf{u}_h - \tilde{\nabla} \cdot \mathbf{u}_h) d\Omega = 0, \quad \forall q_h \in Q_h \quad (2.27)$$

相应的，弱形式体积部分变为：

$$\begin{aligned} \int_{\Omega} \nabla \cdot \delta \mathbf{u}_h p_h d\Omega &= \underbrace{\int_{\Omega} (\nabla \cdot \mathbf{u}_h - \tilde{\nabla} \cdot \delta \mathbf{u}_h) p_h d\Omega}_0 + \int_{\Omega} \tilde{\nabla} \cdot \delta \mathbf{u}_h \underbrace{p_h}_{\tilde{\nabla} \cdot \mathbf{u}_h} d\Omega \\ &= \int_{\Omega} 3\kappa \tilde{\nabla} \cdot \delta \mathbf{u}_h \tilde{\nabla} \cdot \mathbf{u}_h d\Omega \end{aligned} \quad (2.28)$$

里兹-伽辽金变分方程变为：位移 $\mathbf{u}_h \in V_h$ 满足

$$\int_{\Omega} 2\mu \delta \boldsymbol{\varepsilon}_h^d : \boldsymbol{\varepsilon}_h^d d\Omega + \int_{\Omega} 3\kappa \tilde{\nabla} \cdot \delta \mathbf{u}_h \tilde{\nabla} \cdot \mathbf{u}_h d\Omega = \int_{\Gamma_t} \delta \mathbf{u}_h \cdot \mathbf{t} d\Gamma + \int_{\Omega} \delta \mathbf{u}_h \cdot \mathbf{b} d\Omega, \quad \forall \mathbf{u}_h \in V_h \quad (2.29)$$

相比之下，对于罚函数法，缩减积分也可以被视作一种投影。设 ϱ_i 为正交多项式，

$$\int_{\Omega_C} \varrho_i \varrho_j d\Omega = \begin{cases} J_C w_i & i = j \\ 0 & i \neq j \end{cases} \quad (2.30)$$

正交插值 $T^k : V \rightarrow W^k$ ，其中 W^k 是由 k 个正交多项式构成的插值空间：

$$W^k := \text{span}\{\varrho_i\}_{i=1}^k \quad (2.31)$$

对于传统高斯积分方案, $\varrho_i(\mathbf{x}_j) = \delta_{ij}$, \mathbf{x}_j 是积分点的位置。体积应变可以通过正交插值法表示为:

$$\nabla \cdot \mathbf{u}_h(\mathbf{x}) \approx \bar{\nabla} \cdot \mathbf{u}_h(\mathbf{x}) = \sum_{G=1}^{n_g} \varrho_G(\mathbf{x}) \nabla \cdot \mathbf{u}_h(\mathbf{x}_G), \quad \nabla \cdot \mathbf{u}_h(\mathbf{x}_G) = \bar{\nabla} \cdot \mathbf{u}_h(\mathbf{x}_G) \quad (2.32)$$

而积分点被视为插值系数。虽然积分点的总数 n_g 低于完全积分, 这意味着 $\nabla \cdot \mathbf{u}_h$ 投影到子空间。

$$\begin{aligned} \int_{\Omega} 3\kappa \bar{\nabla} \cdot \delta \mathbf{u}_h \bar{\nabla} \cdot \mathbf{u}_h d\Omega &= \sum_{C=1}^{n_e} \sum_{G,L=1}^{n_g} 3\kappa \nabla \cdot \delta \mathbf{u}_h(\mathbf{x}_G) \nabla \cdot \mathbf{u}_h(\mathbf{x}_L) \int_{\Omega} \varrho_G \varrho_L d\Omega \\ &= \sum_{C=1}^{n_e} \sum_{G=1}^{n_g} 3\kappa \nabla \cdot \delta \mathbf{u}_h(\mathbf{x}_G) \nabla \cdot \mathbf{u}_h(\mathbf{x}_G) J_C w_G \end{aligned} \quad (2.33)$$

通过对比式(2.33)和式(2.28), 罚函数法实际上与拉格朗日乘子法等价, 两种方法都可以用投影的方式来描述。

2.3 体积自锁程度判断方法

2.3.1 体积约束比

约束比是用来衡量变量间的约束程度。对于不可压问题约束比为位移的总自由度比上压力的总自由度。理想情况下, 最优约束比应与其偏微分控制方程一致。例如, 在二维情况下, 不可压问题有两个位移控制方程, 一个压力控制方程, 所以最优约束比为 2。当约束比小于 2 时会出现体积自锁的倾向。当约束比大于 2 时会导致压力出现很大的误差。相关的结论 Hughes 已经做出了总结^[2]。

$$r = \frac{n_d \times n_u}{n_p}, \quad \begin{cases} r > n_d & \text{过少的约束} \\ r = n_d & \text{最优} \\ r < n_d & \text{过多的约束} \end{cases} \quad (2.34)$$

图??为四种不同的二维位移压力单元。图 (a) 为

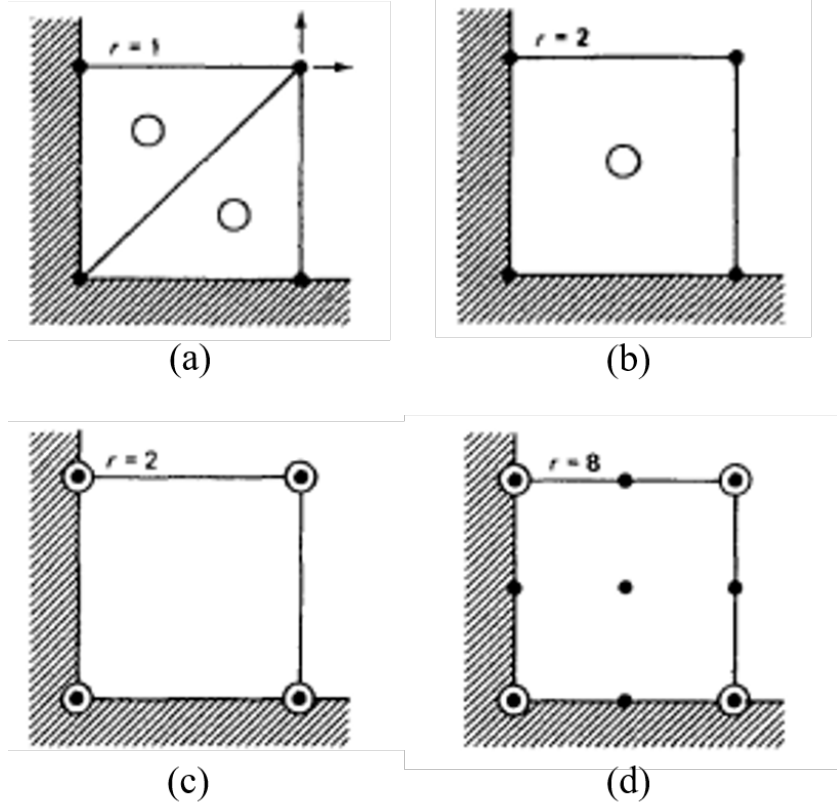


图 2.2 二维位移应力单元示例

从上述结果可以看出，该方法只是一种启发式方法，并不可以精确确定单元组合能否够缓解自锁，只是一种便捷的工具来评估单元是否有缓解自锁的可能，在整体评估单元性能时，还需要考虑其它问题。尽管满足约束比的单元缓解了体积自锁且数值解也比较精确，但它们并非都能满足 LBB 稳定性条件。例如 Q4P1 单元就不满足 LBB 稳定性条件且压力的解出现了明显的振荡，被称为伪压力模式或应力棋盘模式：

2.3.2 LBB 稳定性条件

$$\inf_{q_h \in Q_h} \sup_{\mathbf{v}_h \in V_h} \frac{|b(q_h, \mathbf{v}_h)|}{\|q_h\|_Q \|\mathbf{v}_h\|_V} \geq \beta > 0 \quad (2.35)$$

